

# PS-26 原子炉圧力容器用鋼のシャルピー衝撃試験結果からの動的破壊靶性 $K_{Id}$ の推定

(株)日本製鋼所室蘭製作所 塚田 尚史 岩館 忠雄

○田中 泰彦 小野 信市

**1. 緒 言** シャルピー衝撃試験は、その経済的、合理的観点も相まって、材料の靶性評価の手段として広く工業的に採用され、現在なお製品製造時の重要な試験項目の1つとなつてゐる。したがつて、原子炉圧力容器の設計や安全性の評価を考えた場合、破壊靶性  $K_{Ic}$ 、 $K_{Id}$  とシャルピー衝撃試験結果との相関性を見い出すことは工業的にきわめて重要である。本報告はこのような工業的見地から、ASTM A508 C1.2、C1.3、A533 Gr.B C1.1鋼の  $K_{Ic}$ 、 $K_{Id}$  および  $J_{Ic}$ 、 $J_{Id}$  試験を行ない、シャルピー衝撃試験結果からの静的破壊靶性  $K_{Ic}$  および動的破壊靶性  $K_{Id}$  の推定方法を検討した。

**2. 破壊靶性の測定** 静的破壊靶性  $K_{Ic}$  は  $K_{Ic}$  試験および R カーブ法による  $J_{Ic}$  試験を行ない求めた。動的破壊靶性  $K_{Id}$  は、疲労予き裂を挿入したシャルピー衝撃試験片による計装化シャルピー衝撃試験、および 0.6 R C T 試験片を用いた R カーブ法による  $J_{Id}$  試験を行ない求めた。ここで、ブランチングラインは実験点を通る直線を用いた。また計装化シャルピー衝撃試験時の負荷速度  $\dot{K}$  は  $10^6 \text{ kg-mm}^{-3/2}/\text{sec}$  であり、 $J_{Id}$  試験時の  $\dot{K}$  は  $10^5 \text{ kg-mm}^{-3/2}/\text{sec}$  である。

**3.  $K_{Ic}$  および  $K_{Id}$  の推定方法** 本論文の 2 ページノツチシャルピー衝撃試験結果からの破壊靶性  $K_{Ic}$  および  $K_{Id}$  の推定方法は、Barsom, Rolfe, Novak の Upper Shelf 域での相関式

$$(K_{Ic-us}/\sigma_y)^2 = 6478 (CVN-us/\sigma_y - 0.0098) \quad (1)$$

と、Brothers らの  $T_e$  温度（試験温度 - FATT）による整理を組合せたもので、 $K_{Ic}$  および  $K_{Id}$  のマスターカーブを用いる方法<sup>1)</sup>である。図 1 に A 508 C1.3 鋼を例に推定手順を示す。

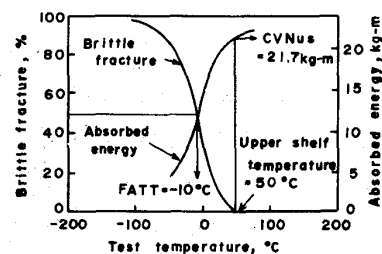
- (1) シャルピー衝撃試験を行ない、吸収エネルギー CVN ( $\text{kg-m}$ ) ならびにせい性破面率と試験温度との関係を求める。
- (2) 50% せい性破面率を示す温度 FATT と 0% せい性破面率を最初に示す温度、Upper Shelf 温度を求める。
- (3) Upper Shelf 温度での吸収エネルギー CVN-us およびその温度で引張試験を行ない 0.2% 耐力  $\sigma_y$  を求め、(1)式から  $K_{Ic-us}$  を求める。

(4) 図 2 に示す  $K_{Ic}/K_{Ic-us}$ 、 $K_{Id}/K_{Ic-us}$  と  $T_e$  温度との関係で示されるマスターカーブを用い、 $K_{Ic-us}$  と FATT から、 $K_{Ic}$ 、 $K_{Id}$  と試験温度との関係に変換する。

このようにして推定される  $K_{Ic}$  および  $K_{Id}$  の遷移曲線は、Upper Shelf を含む広範囲な温度領域において、実験点ときわめて良い一致を示す。

## 4. 参考文献 (1) T. Iwadate et al., ASTM

STP 631 (1977) 493.



$$\sigma_y \text{ at } 50^\circ\text{C} = 45 \text{ kg/mm}^2$$

$$(K_{Ic-us}/\sigma_y)^2 = 6478 (CVNus/\sigma_y - 0.0098)$$

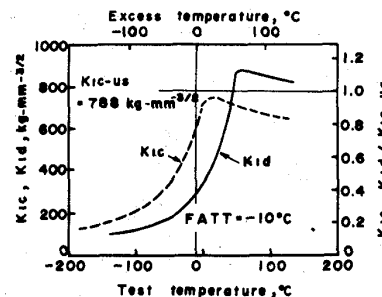


図 1  $K_{Ic}$ 、 $K_{Id}$  の推定手順

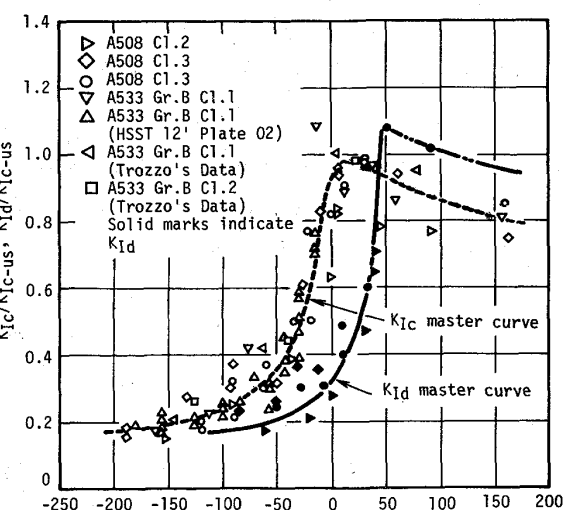


図 2 原子炉圧力容器用鋼のマスターカーブ